

# کارایی فرایند اکسیداسیون فنتون در حذف رنگ رودآمین B از محلول سنتتیک

سید علیرضا موسوی<sup>۱</sup> پرویز محمدی<sup>۲</sup>  
سید محمد پرستار<sup>۳</sup> مهدی غائبزاده<sup>۴</sup>  
فریده کمری<sup>۵</sup>

(دریافت ۹۱/۱۲/۴ پذیرش ۹۲/۷/۵)

## چکیده

خطرات بهداشتی و محیط زیستی از جمله مشکلات ناشی از دفع فاضلاب‌های حاوی مواد رنگزا است که به صورت خام یا با تصفیه نامناسب به محیط زیست و بهویژه آب‌های پذیرنده وارد می‌شوند. روش‌های تصفیه متداول، کارایی مناسبی را برای حذف این ترکیبات ندارند. لذا محققان روش‌هایی که توانایی تجزیه این ترکیبات سمنی و یا سخت تجزیه‌پذیر را دارند، تحت عنوان فرایندهای اکسیداسیون پیشرفت از جمله فرایند فنتون، برای این نوع فاضلاب‌ها پیشنهاد نموده‌اند. در این پژوهش، به صورت تجربی-مداخله‌ای در مقیاس آزمایشگاهی، کارایی فرایند فنتون در حذف رنگ و COD مورد بررسی قرار گرفت. بررسی عوامل مؤثر در این فرایند (غلظت پراکسید هیدروژن، غلظت نمک آهن و زمان واکنش) در راکتورهای یک لیتری صورت گرفت. نتایج آزمایش نشان داد فرایند تحت شرایط: غلظت اولیه رود آمین B برابر ۱۰۰ میلی گرم در لیتر، COD برابر ۲۷۰ میلی گرم در لیتر، pH برابر ۲، غلظت آهن برابر ۴۰ میلی گرم در لیتر و  $H_2O_2$  برابر ۲۰۰ میلی گرم در لیتر و زمان واکنش ۶۰ دقیقه، بهترین کارایی را در حذف رنگ و COD به ترتیب به میزان ۵۸ درصد و ۴۸ درصد از محلول آبی رودآمین B دارد.

**واژه‌های کلیدی:** اکسیداسیون پیشرفت، فرایند فنتون، پراکسید هیدروژن، فاضلاب نساجی، رود آمین B

## Efficiency of Fenton Oxidation in Rodamine B Removal from Synthetic Solutions

S. A. Mousavi<sup>1</sup> P. Mohammadi<sup>2</sup> S.M. Parastar<sup>3</sup>  
M.Ghaebzadeh<sup>4</sup> F. Kamari<sup>5</sup>

(Received Feb. 22, 2013 Accepted Sep. 27, 2013)

## Abstract

Environmental and health hazards are regarded among the problems associated with the disposal of raw or undertreated wastewaters containing reactive dyes discharged into the environment, and especially into receiving waters. Conventional treatment methods lack the desirable efficiency in removing these compounds. For this type of wastewater, researchers, therefore, recommend methods, collectively called "advanced oxidation processes" such as the Fenton process, that are capable of removing toxic and non-biodegradable compounds. This experimental-intervention study was carried out on the laboratory scale to investigate the Rodamine B and COD removal efficiency of the Fenton oxidation process. The effects of such parameters as  $H_2O_2$ ,  $Fe^{2+}$ , and reaction time were investigated using a 1-L batch reactor. The results revealed that the process achieved a decolorization efficiency of 58% and a COD removal of 48% after 60 min of reaction time when the initial concentrations of Rodamine B, COD,  $Fe^{2+}$ , and  $H_2O_2$  in the influent were 100 mg/L, 270 mg/L, 40 mg/L, and 200 mg/L, respectively, at a constant pH level of 3.

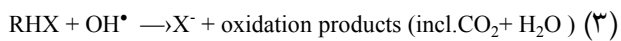
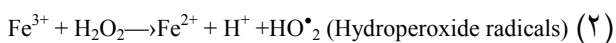
**Keywords:** Advanced Oxidation, Fenton Process, Hydrogen Peroxide, Textile Wastewater, Rodamine B.

- PhD of Environmental Eng., Faculty of Public Health, Kermanshah University of Medical Sciences, Kermanshah (Corresponding Author) (+98 831) 4299003 seyyedarm@yahoo.com
- Ph.D. of Environmetnal Eng., Applied Science and Tech. University, Kermanshah
- MSc Student of Water and Wastewater Eng., Applied Science and Tech., University, Kermanshah
- MSc Student of Environmental Health Eng., Faculty of Public Health, Kermanshah University of Medical Sciences, Kermanshah
- Grad. MSc of Environmental Health Eng., Faculty of Public Health, Kermanshah University of Medical Sciences, Kermanshah

- دکترای مهندسی محیط زیست، دانشکده بهداشت، دانشگاه علم پزشکی کرمانشاه (نویسنده مسئول) ۰۰۹۹۰۰۳۲۲۹۹۰۰۳ seyyedarm@yahoo.com
- دکترای مهندسی محیط زیست، مؤسسه آموزش عالی علمی کاربردی صنعت آب و برق، مجتمع عالی آموزشی، کرمانشاه
- دانشجوی کارشناسی ارشد مهندسی آب و فاضلاب، مؤسسه آموزش عالی علمی کاربردی صنعت آب و برق، مجتمع عالی آموزشی، کرمانشاه
- دانشجوی کارشناسی ارشد مهندسی بهداشت محیط، دانشکده بهداشت، دانشگاه علم پزشکی کرمانشاه
- دانش آموخته کارشناسی بهداشت محیط، دانشکده بهداشت، دانشگاه علم پزشکی کرمانشاه

## ۱- مقدمه

اکسیداسیون پیشرفته<sup>۱</sup> است. مکانیسم اصلی عملکرد فرایندهای اکسیداسیون پیشرفته، تولید رادیکال‌های آزاد بسیار واکنش‌پذیر است. رادیکال‌های هیدروکسیل (OH<sup>•</sup>) به علت تمایل شدید در پذیرفتن الکترون، به طور مؤثری موجب تخریب ترکیبات شیمیایی می‌شوند. فرایند فنتون (H<sub>2</sub>O<sub>2</sub>/Fe<sup>2+</sup>) یکی از روش‌های اکسیداسیون پیشرفته است که در سال‌های اخیر برای حذف و افزایش تجزیه‌پذیری آلاینده‌های سمی و دیر تجزیه‌پذیر کاربرد چشمگیری داشته است. همچنین این فرایند به دلیل سهولت اجرا، امکان به کارگیری در مقیاس‌های مختلف و ملاحظات اقتصادی، برای تصفیه آلاینده‌ها مناسب شناخته شده است [۹ و ۱۰]. واکنش‌های فرایند فنتون برای حذف مواد آلاینده از طریق تولید رادیکال هیدروکسیل با حضور پراکسید هیدروژن به عنوان اکسیدان و یون آهن به عنوان کاتالیست در یک محیط اسیدی مطابق رابطه ۱ تا ۳ رخ می‌دهد [۹]



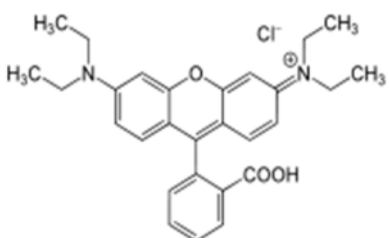
کارایی فرایند فنتون تحت تأثیر پارامترهای محیطی و فرایندهای مختلف از جمله دما، pH، زمان واکنش، غلظت آهن، نوع آهن و غلظت H<sub>2</sub>O<sub>2</sub> است [۱۱]. که در این میان پراکسید هیدروژن به عنوان یک عامل اصلی و تأثیرگذار در فرایند فنتون مطرح است که تولید رادیکال هیدروکسیل در نتیجه حضور آن است. رادیکال‌های هیدروکسیل، طبیعت نامشخصی در اکسیداسیون مواد آلی دارند، بنابراین تعیین میزان غلظت H<sub>2</sub>O<sub>2</sub> و به دست آوردن نسبت بهینه پراکسید هیدروژن به ماده آلی ضروری است [۱۲ و ۱۳]. در مطالعات مختلف، کارایی فرایند در حذف آلاینده‌ها با تأکید بر بهینه‌سازی فرایند از نظر پارامترهای مختلف ذکر شده مدد نظر بوده است و تحقیقات بسیاری در مورد کارایی اکسیداسیون پیشرفته در حذف یا افزایش تصفیه‌پذیری فاضلاب‌های مختلف انجام شده است. چن و چو در سال ۲۰۰۷ فرایند فنتون را برای حذف آترازین به کار بردند. در سال ۲۰۰۰، بلترن و همکاران از تصفیه تلفیقی ازن زنی و لجن فعال برای تصفیه مشترک فاضلاب خانگی و صنایع کشاورزی استفاده کردند [۱۴ و ۱۵]. ملکوتیان و اسدی در سال ۱۳۸۹ برای حذف فتل از محلول‌های آبی، از فرایند

فاضلاب صنایع نساجی حاوی انواع مختلفی از آلاینده‌ها از جمله مواد رنگی، COD، BOD و دیگر ترکیبات مقاوم و سمی است که تخلیه آنها به محیط بهویژه آب‌های پذیرنده، همراه با مخاطرات بهداشتی و محیط زیستی غیر قابل جبران است. وجود رنگ در آب‌های پذیرنده، از نفوذ نور جلوگیری می‌کند و باعث وقوع پدیده اتریفیکاسیون می‌شود که فعالیت فتوسنتیکی را مختل می‌کند و مانع رشد موجودات زنده می‌شود. مطالعات نشان می‌دهد که رنگ‌های به کار رفته در این صنایع دارای اثرات بهداشتی مختلفی از جمله سلطان‌زاوی، جهش‌زاوی و آرژی‌زاوی هستند. از سوی دیگر به علت بالا بودن مقدار COD پساب‌های حاوی رنگ، تخلیه آنها به آب‌های پذیرنده همراه با افت اکسیژن محلول و به خطر افتادن حیات موجودات آبزی است [۱ و ۲]. لذا تصفیه و کاهش مخاطرات ناشی از دفع غیر بهداشتی این نوع فاضلاب‌ها از دهه‌های گذشته، همواره مورد توجه محققان و مهندسان محیط زیست بوده است.

هر چند پیشرفته‌های اخیر نساجی، به دلیل به کارگیری مواد رنگزاوی که دارای ساختار پایدارتری هستند، محصولات با کیفیت بهتر و ماندگارتری را تولید نموده است. اما مواد رنگزاوی جدید در پساب این صنایع به سهولت توسط روش‌های متداول تصفیه، (فیزیکی، بیولوژیکی و حتی تجزیه شیمیایی) قابل حذف نیستند و یا این روش‌ها، کارایی مناسبی را برای دستیابی به استانداردهای تخلیه این‌گونه پساب‌ها به محیط نشان نداده‌اند [۱، ۴ و ۵ و ۶]. انتخاب روش تصفیه برای این نوع فاضلاب‌ها به عوامل مختلفی از جمله عوامل محیطی، ترکیب آلاینده موجود، کیفیت تصفیه مورد نیاز و تا حدود زیادی جنبه اقتصادی فرایند بستگی دارد [۷ و ۸]. هر چند سیستم‌های بیولوژیکی در تصفیه و حذف مواد آلی بسیار مؤثراند ولی در رنگ زدایی کاربرد محدودی دارند، بهویژه برای فاضلاب‌های حاوی رنگ‌های غیرقابل تجزیه بیولوژیکی که به دلیل ارزان بودن و پایداری بیشتر، امروزه مصرف چشمگیری دارند. همچنین باید اشاره نمود که سیستم‌های فیزیکی و شیمیایی مانند جذب سطحی و دیگر روش‌ها به دلیل تولید حجم زیادی از پسماند و ضایعات برای کاربردهای صنعتی مناسب نیستند [۸]. این شرایط، محققان را برای به کارگیری روش‌های پیشرفته و کارا در حذف مواد رنگرا ترغیب نموده است. لذا در سال‌های اخیر، محققان روش‌های مختلفی را برای تجزیه مولکول‌های پیچیده و مقاوم به مولکول‌های ساده‌تر مورد بررسی قرار داده‌اند که یکی از نتایج این مطالعات، معرفی روش‌های جدید تحت عنوان فرایندهای

<sup>۱</sup> Advance Oxidation Processes (AOP)

است که با غلظت ماده رنگزا در فاضلاب‌های واقعی نیز مطابقت دارد، به منظور تهیه این غلظت، توزیں ماده رنگی و دیگر مواد شیمیایی مورد استفاده در این پژوهش، با ترازوی دیجیتالی آزمایشگاهی با دقت ۱٪/۰۰ گرم مدل FG-H با ظرفیت ۲۰۰ گرم انجام شد. در این پژوهش برای تهیه نمونه‌های سنتیک، از رودآمین B با فرمول شیمیایی  $C_{28}H_{31}N_2O_3Cl$  و درجه خلوص ۹۹ درصد محصول شرکت مرک<sup>۱</sup> آلمان، که یک رنگ سنتزی و از دسته رنگ‌های زانتن با فرمول گستردۀ مطابق شکل ۱ است، استفاده شد.



شکل ۱- ساختار شیمیایی رنگ رودآمین B

همان طور که در مقدمه نیز اشاره شد، بهترین pH برای انجام این فرایند، محدوده اسیدی است، لذا در این پژوهش، pH نمونه‌ها با استفاده از یک pH متر دیجیتالی مدل pH-462 برای تمام آزمایش‌ها بر روی ۳ تنظیم شد. نتایج مطالعه دامنه‌یابی بر روی محلول رنگی، با غلظت ۱۰۰ میلی‌گرم در لیتر نیز دامنه‌مناسبی از غلظت‌های پراکسید هیدروژن و سولفات‌آهن با فرمول شیمیایی  $FeSO_4 \cdot 7H_2O$  را برای انجام این پژوهش فراهم نمود که هم از نظر بعد زمانی و هم کاهش مصرف مواد شیمیایی، اجرای پروژه را هموارتر می‌نمود. در این پژوهش درصد خلوص پراکسید هیدروژن محصول شرکت مرک آلمان ۳۵ درصد، چگالی برابر  $1/13$ ، جرم مولکولی برابر  $340.1$  و درصد خلوص سولفات‌آهن محصول شرکت مرک آلمان  $99/5$  درصد و جرم مولکولی برابر  $228.02$  بود. با توجه به تعداد غلظت اکسیدان ( $200\text{--}50$ ) بود. کاتالیست ( $25\text{--}100\text{--}20\text{--}40\text{--}80$  mg/L)،  $H_2O_2$  (mg/L) و زمان واکنش ( $20\text{--}60\text{--}80$  دقیقه)، در کل  $48$  نمونه و با توجه به سه بار تکرار آزمایش‌ها،  $144$  نمونه برداشت شد و برای تعیین مقدار COD و رنگ، مورد آزمایش قرار گرفت. نمونه‌ها به صورت سنتیک با غلظت  $100$  میلی‌گرم در لیتر که COD اولیه آنها تعیین شده شد، تهیه و در چهار بشری یک لیتری ریخته شدند. سپس بشرها بر روی همزن مغناطیسی محصول شرکت پارس آزمای ایران با مدل T-1 با دور  $110$  rpm قرار گرفتند و با اضافه کردن اسید

اکسیداسیون فنتون استفاده نمودند. نتایج این پژوهش نشان داد که حذف  $96$  درصد فتل در غلظت‌های بهینه  $H_2O_2 = 0.5$  مولار، سولفات‌آهن برابر  $0.03$  مولار و pH بین  $3$  تا  $4$  در زمان مناسب واکنش  $30$  دقیقه به دست آمد [۱۶]. نتایج پژوهش بلانکو و همکاران در سال  $2012$  با فرایند فنتون و فرایند تلفیقی (بیولوژیکی-فنتون) برای تصفیه فاضلاب نساجی به منظور استفاده مجدد نشان داد که هر دو روش، پس ای با کیفیت مناسب برای استفاده مجدد بر طبق استاندارد RD 1620/2007 اسپانیا به دست می‌دهند [۱۷]. پژوهش پنیرا و سری سولا در سال  $2009$  برای حذف الیزارین قرمز با غلظت  $120$  میلی‌گرم در لیتر توسط فرایند الکتروفنتون نشان داد که این فرایند در شرایط بهینه یون فرو، pH شدت جریان، دما و زمان واکنش، راندمانی بیش از  $90$  درصد برای حذف COD دارد [۱۸]. نتایج به دست آمده از پژوهش‌های پرکوسکی و کیوس در سال  $2002$  بر روی کاربرد معرف فنتون در تصفیه فاضلاب نساجی رنگرزی نشان داد که فرایند، علاوه بر کاهش چشمگیر در COD (درصد) و مواد رنگی ( $76$  درصد)، قابلیت تجزیه بیولوژیکی را در فاضلاب این صنعت افزایش می‌دهد [۱۹].

مرور پژوهش‌های گذشته نشان می‌دهد که روش‌های مختلف اکسیداسیون پیشرفتۀ برای تصفیه فاضلاب‌های رنگی از کارایی مناسبی برخوردار است. اما باید تأکید نمود که فرایند فنتون به عنوان یک روش کارا با هزینه پایین‌تر، جایگاه ویژه‌ای را برای تصفیه این گونه فاضلاب‌ها دارد. هرچند مطالعات متعددی در خصوص بررسی کارایی اکسیداسیون پیشرفتۀ در حذف و یا افزایش تصفیه پذیری انواع فاضلاب‌ها انجام گرفته است، اما کارایی فرایند از جنبه‌های مختلف هنوز تحت بررسی است. لذا در این پژوهش کارایی فرایند فنتون با تأکید بر تأثیر غلظت‌های مختلف اکسیدان در زمان‌های مختلف بر روی نمونه‌های سنتیک در حذف رنگ و COD از محلول آبی رودآمین B مورد بررسی قرار گرفت.

## ۲- مواد و روش‌ها

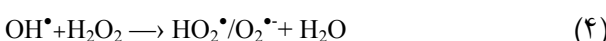
این مطالعه با هدف بررسی کارایی فرایند فنتون در حذف محلول رنگی رودآمین B به روش تجربی در مقیاس آزمایشگاهی در آزمایشگاه شیمی‌گروه مهندسی آب و فاضلاب مؤسسه آموزش عالی علمی-کاربردی صنعت آب و برق غرب، در دو مرحله انجام شد. ابتدا با مرور مطالعات گذشته و همچنین انجام یک مطالعه دامنه‌یابی، غلظت محلول رنگی، غلظت معرف فنتون، زمان مناسب واکنش و دیگر پارامترهای تأثیر گذار در کارایی فرایند تعیین شد. نتایج این مرحله نشان داد غلظت  $100$  میلی‌گرم در لیتر این ماده رنگی در اکثر پژوهش‌ها، مبنای ساخت محلول‌های سنتیک بوده

<sup>۱</sup> Merck

یون فرو بیشتر به صورت محلول بوده و در نتیجه قدرت اکسیدکنندگی رادیکال هیدروکسیل بیشتر می‌شود. در واقع اسیدها تا حدودی باعث پایداری پراکسید هیدروژن می‌شوند [۲۳]. لذا در این پژوهش تنها تأثیر سه پارامتر اصلی زمان واکنش، غلظت پراکسید هیدروژن و یون فرو در کارایی فرایند با هدف تعیین بهینه غلظت اکسیدان و زمان واکنش مورد بررسی قرار گرفت.

### ۱-۳-اثر غلظت‌های مختلف $H_2O_2$

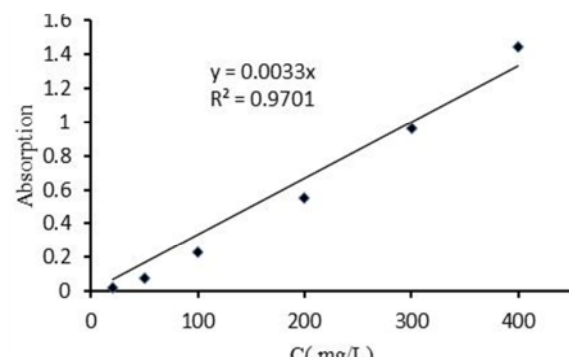
نتایج مطابق شکل‌های ۳ و ۴ نشان می‌دهند که با افزایش غلظت اکسیدان، پتانسیل اکسیداسیون فرایند افزایش می‌یابد که نتیجه آن، افزایش حذف رنگ و COD است. این نتایج موافق با نتایج به دست آمده از به کارگیری فرایند فنتون برای حذف دیگر آلاینده‌ها است [۲۴ و ۲۲]. شکل‌های ۳ و ۴ نشان می‌دهند که کارایی حذف و تجزیه رنگ و COD در بالاترین غلظت یون آهن ۸۰ میلی‌گرم در لیتر، و زمان واکنش ۸۰ دقیقه، در غلظت ۲۰۰ میلی‌گرم در لیتر پراکسید هیدروژن، به ترتیب ۴۸ و ۴۷ درصد است. هر چند پژوهش‌های دیگر، زمان ماند کمتر و غلظت‌های اکسید را از پراکسید هیدروژن را برای حذف آلاینده‌ها مصرف نموده‌اند، اما همگی بر این نکته تأکید دارند که افزایش غلظت پراکسید هیدروژن یک عامل تأثیرگذار در پیشرفت فرایند و افزایش حذف آلاینده‌ها است. به طوری که هاو و همکاران در سال ۲۰۱۱ از غلظت پراکسید هیدروژن به عنوان یک پارامتر کلیدی در فرایند فنتون و شبه فنتون یاد نموده‌اند [۲۵]. زو و همکاران در سال ۲۰۰۹ اکسیداسیون شبه فنتون رود آمین B در حضور دو نوع آهن (II) و (III) را، مورد بررسی قرار دادند. نتایج نشان داد که فرایند اکسیداسیون مستقیم به غلظت پراکسید هیدروژن وابسته است، به طوری که با افزایش غلظت آن، درصد حذف رنگ تا یک حد اکثر افزایش یافت و سپس افزایش غلظت اکسیدان باعث کاهش درصد حذف رنگ شد که دلیل آن را تخریب رادیکال‌های هیدروکسیل به وسیله پراکسید هیدروژن مازاد اعلام نمودند [۲۶]. این نتایج موافق با یافته‌های پژوهش و همکاران در سال ۲۰۰۶ بود. و همکارش نمود که رادیکال OH<sup>•</sup> ممکن است با پراکسید هیدروژن واکنش داده و تولید سوپر اکسید رادیکال هیدروپیروکسی مطابق رابطه ۴ نماید [۲۷]



در پژوهش هاو و همکاران، اثر پراکسید هیدروژن در غلظت ۱ گرم در لیتر از آهن صفر ظرفیتی در زمان‌های واکنش مختلف در pH برابر ۴ برای حذف ۱٪ میلی مول رود آمین B، مورد بررسی

سولفوریک یک نرمال، pH آن در محدوده ۳ تنظیم شد. در هر یک از این بشرها، غلظت‌های معینی از پراکسید هیدروژن و یون فرو اضافه و با توجه به زمان مورد نیاز واکنش، فرایند آغاز شد. در پایان زمان مورد نظر، همzen خاموش شد و برای جلوگیری از ادامه اکسیداسیون و نیز رسوب آهن، به تمام نمونه‌ها ماده قلیایی (سود یک نرمال) اضافه و مقدار pH در محدوده بالاتر از ۸/۵ تنظیم شد [۲۰ و ۱۰]. بعد از یک ساعت زمان ماند به منظور حذف و جلوگیری از تداخل  $H_2O_2$  در اندازه‌گیری میزان واقعی COD، مقداری از این نمونه داخل آون ساخت محصول شرکت پارس طب در دمای ۴۵ تا ۵۰ درجه سلسیوس به مدت یک ساعت قرار گرفت [۱۰]. سپس ظرف از آون بیرون آورده شد و از لایه رویی برای اندازه‌گیری میزان رنگ با استفاده از اسپکتروفوتومتر مدل Spectronic 2ID و اندازه‌گیری COD به روش رفلکس بسته مطابق کتاب روش‌های استاندارد، نمونه به مقدار کافی برداشت شد و مورد تجزیه و تحلیل قرار گرفت [۲۱].

برای تعیین غلظت ماده رنگی رود آمین B، مقدار  $\lambda_{max}$  آن از طریق دستگاه اسپکتروفوتومتر تعیین شد و طول موج غالب برای این ماده که ۶۰۰ نانومتر است، در تهیه و رسم منحنی کالیبراسیون مورد استفاده قرار گرفت. منحنی کالیبراسیون مطابق شکل ۲ با تهیه نمونه‌هایی از محلول استاندارد با غلظت‌های ۲۰، ۵۰، ۱۰۰، ۲۰۰، ۳۰۰ و ۴۰۰ میلی‌گرم در لیتر و اندازه‌گیری جذب آنها در طول موج ۶۰۰ نانومتر رسم شد. سپس به منظور تجزیه و تحلیل آماری نتایج به دست آمده، از نرم افزار اکسل استفاده شد.



شکل ۲- منحنی کالیبراسیون برای اندازه‌گیری غلظت محلول رنگی رود آمین B در طول موج غالب ۶۰۰ نانومتر

### ۳-نتایج و بحث

هر چند pH به عنوان یک پارامتر مؤثر در فرایند فنتون مطرح است، اما در پژوهش حاضر، تأثیر آن مورد بررسی قرار نگرفت و بر اساس نتایج به دست آمده از پژوهش‌های گذشته که بهترین مقدار را برای این پارامتر، محدوده اسیدی (pH برابر ۳) عنوان نموده‌اند، در این پژوهش نیز این مقدار مبنای قرار گرفت [۲۲]. در این شرایط،

که با افزایش غلظت آهن به  $80\text{ میلیگرم در لیتر}$  در تکرارهای مختلف، سیستم کارایی کمتری را از خود نشان داده است. این نتیجه با نتایج بدست آمده از پژوهش گن و همکاران مشابه است. در این پژوهش، نتایج حذف رنگ با سیستم اکسیداسیون شبه فتوون نشان داد که افزایش غلظت کاتالیست از  $0.5\text{ g/dm}^3$  به  $0.5\text{ g/dm}^3$  کاهش چشمگیری در میزان رنگ را در پی دارد. اما در شرایطی که غلظت اولیه رنگ  $5\text{ میلیگرم در لیتر}$ ، غلظت پراکسید هیدروژن برابر  $0.98\text{ میلی مول}$  و  $\text{pH}$  برابر  $5$  باشد، بهینه غلظت کاتالیست برابر  $1\text{ g/dm}^3$  است و کارایی سیستم در حذف رنگ برابر غلظت‌های بالاتر کاتالیست است. این در حالی است که نتایج دیگر پژوهش‌ها، نقش کلیدی را برای غلظت آهن در فرایند حذف رنگ نشان نداده‌اند [۲۸]. هاو و همکاران در سال ۲۰۱۱ اثر غلظت آهن  $\text{B}$  صفر ظرفیتی را در فرایند فتوون برای حذف رنگ رود آمین  $\text{B}$  مورد بررسی قرار دادند. نتایج نشان داد که این پارامتر تأثیر کلیدی ایفا نمی‌کند. به طوری که با افزایش غلظت آهن صفر ظرفیتی از  $0.25\text{ به }1.5\text{ گرم در لیتر}$ ، درصد افزایش حذف رنگ بسیار اندک بود [۲۵].

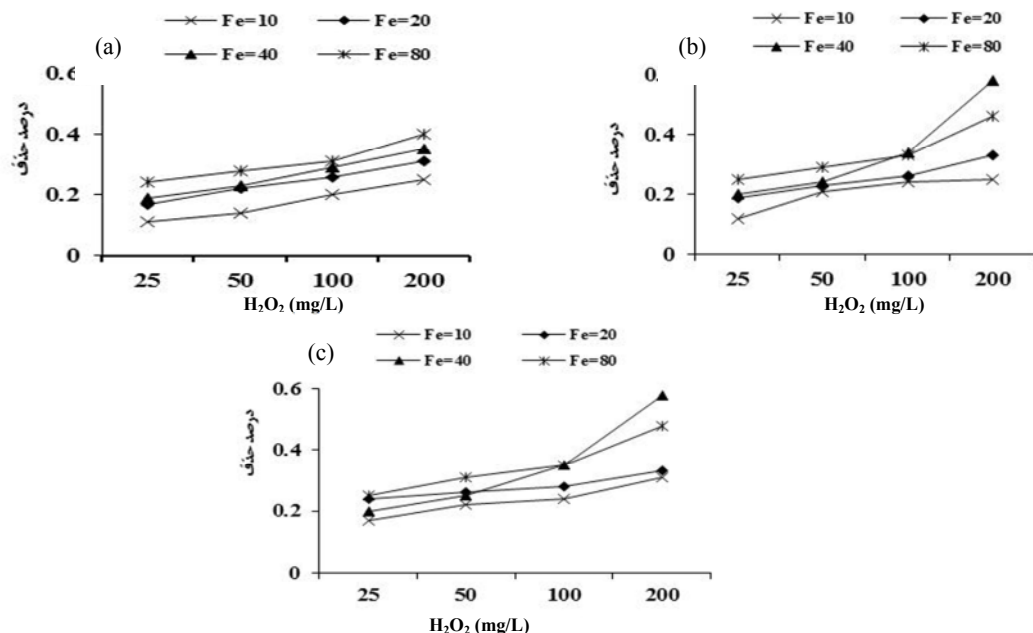
### ۳-۳-اثر زمان واکنش

نتایج مطابق شکل ۳ و ۴ نشان می‌دهد که با افزایش زمان واکنش از  $40\text{ به }80\text{ دقیقه}$ ، روند حذف رنگ و COD افزایش داشته است به طوری که در زمان  $40\text{ دقیقه}$  با غلظت  $200\text{ میلیگرم در لیتر}$

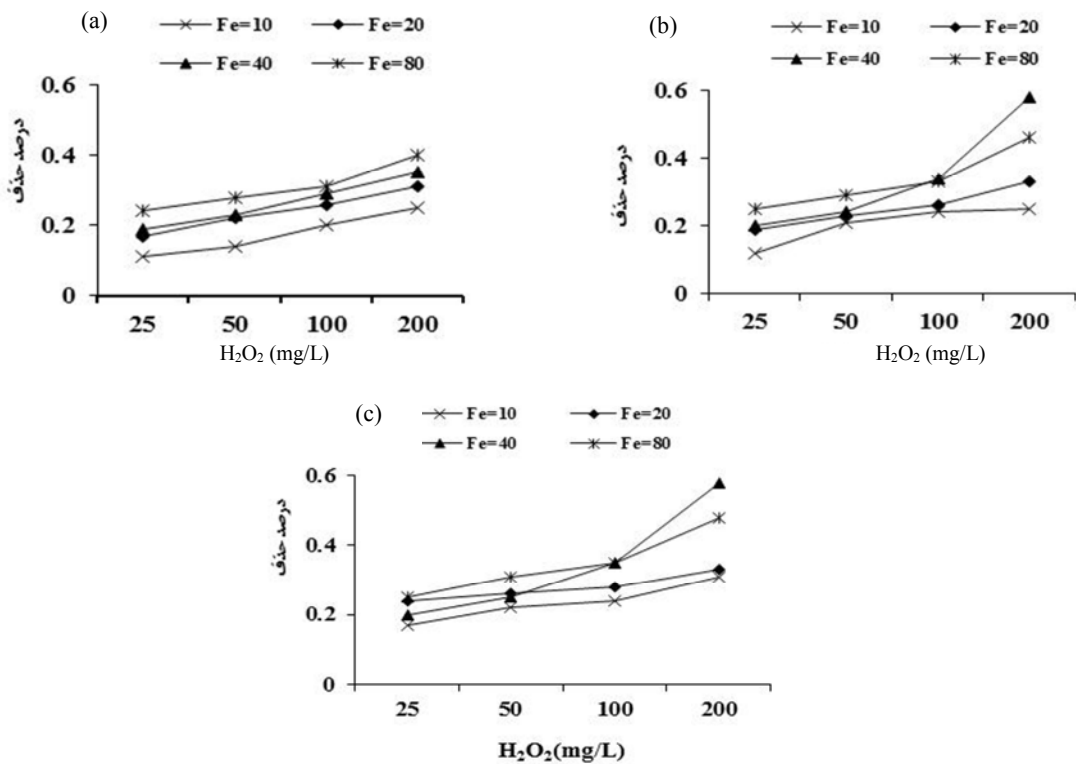
قرار گرفت. نتایج نشان داد با افزایش غلظت  $\text{H}_2\text{O}_2$ ، درصد حذف رنگ افزایش یافت به طوری که در غلظت  $40\text{ میلی مول}$  از  $\text{H}_2\text{O}_2$ ، کارایی سیستم در حذف رنگ،  $100\text{ درصد}$  گزارش شد. اما افزایش غلظت  $\text{H}_2\text{O}_2$  از  $6\text{ میلی مول}$  بیشتر به علت خاصیت تخریب کنندگی عامل  $\text{OH}^\bullet$  باعث کاهش کارایی سیستم شد. لذا غلظت  $2\text{ میلی مول}$  از پراکسید هیدروژن که  $73\text{ درصد}$  از TOC محلول در مدت زمان  $60\text{ دقیقه}$  را حذف می‌نمود، به عنوان غلظت مناسب و اقتصادی پیشنهاد شد [۲۵]. نتایج مطالعه گن و همکاران نیز بر کلیدی بودن اثر پراکسید هیدروژن در اکسیداسیون غلظت‌های مختلف رود آمین  $\text{B}$  تأکید دارد، به طوری که غلظت بهینه برای پراکسید هیدروژن در غلظت اولیه رنگ  $5\text{ میلیگرم در لیتر}$ ,  $\text{pH}=5$  و غلظت بهینه کاتالیست  $1\text{ g/dm}^3$  می‌باشد. همچنین ایشان اعلام نمودند که بالاتر از این غلظت به علت خاصیت تخریبی آن از نظر کارایی سیستم و همچنین جنبه اقتصادی، مقرر نبود [۲۸].

### ۲-۳-اثر غلظت‌های مختلف یون آهن (II)

نتایج بدست آمده نشان می‌دهد آهن فرو در ذرهای مختلف  $10\text{، }20\text{، و }80\text{ میلیگرم در لیتر}$  در حذف رنگ و COD مؤثر بوده است. مطابق شکل‌های ۳ و ۴، روند افزایش غلظت آهن تأثیر شتابی را نشان نداده است؛ به طوری که از غلظت  $10\text{ تا }40\text{ میلیگرم در لیتر}$  از یون فرو، حذف رنگ و COD روند افزایشی داشته در صورتی



شکل ۳-کارایی فرایند فتوون در حذف رنگ رود آمین  $\text{B}$  ( $100\text{ میلیگرم در لیتر}$ ) در زمان‌های واکنش مختلف: (a)  $40\text{ دقیقه}$ , (b)  $60\text{ دقیقه}$ , (c)  $80\text{ دقیقه}$



شکل ۴- کارایی فرایند فنتون در حذف COD با غلظت اولیه ۲۷۰ میلی گرم در لیتر) در زمان های واکنش مختلف: (a) ۸۰ دقیقه، (b) ۶۰ دقیقه، (c) ۴۰ دقیقه.

رنگ و COD تحت تأثیر سه پارامتر اصلی از جمله غلظت پراکسید هیدروژن، و بالاترین غلظت آهن برابر ۸۰ میلی گرم در لیتر، کارایی حذف رنگ و COD به ترتیب برابر ۴۰ و ۴۱ درصد است. در صورتی که در همین غلظت از پراکسید هیدروژن و زمان ۸۰ دقیقه، کارایی حذف، ۴۸ و ۴۷ درصد است که کمتر از کارایی به دست آمده در زمان ۶۰ دقیقه با غلظت ۲۰۰ میلی گرم در لیتر پراکسید هیدروژن و ۴۰ میلی گرم در لیتر یون آهن است. همان طور که محققان اشاره کردند، زمان اکسیداسیون در فرایند فنتون بستگی به غلظت کاتالیزور، اکسیدان و آلانینه دارد. برای مثال اکسیداسیون فلیل در غلظت های کمتر از ۲۵۰ میلی گرم در لیتر به ۳۰ تا ۶۰ دقیقه زمان نیاز دارد. برای بیشتر فاضلاب های باز آلی بالا، زمان اکسیداسیون ممکن است چندین ساعت باشد که در این صورت انجام فرایند در مراحل مختلف مناسب تر است [۸ و ۱۰].

**۵- قدردانی**  
از همکاری صمیمانه گروه مهندسی آب و فاضلاب مجتمع عالی آموزشی و پژوهشی غرب که با در اختیار قرار دادن تجهیزات آزمایشگاهی، امکان انجام این پژوهش را فراهم نمودند، تشکر و قدردانی می شود.  
**۶- مراجع**

1. Malik, R., Ramteke, D.S., and Waste, S.R. (2007). "Adsorption of malachite green on groundnut shell waste based powdered activated carbon." *J. Waste Management*, 27, 1129-1138.

2. Dos Santos, A.B., Cervantes, F. J., and Vanlier, J.B. (2007). "Review paper on current technologies for decolourisation of textile wastewaters: Perspectives for anaerobic biotechnology." *J. Bioresour. Technol.*, 98 (12), 2369-2385.
3. Ahmet, Z., and Gulbeyi, D. (2007). "Removal of methylene blue from aqueous solution by dehydrated wheat bran carbon." *J. Hazard. Mater.*, 146, 262-269.
4. Daneshvar, N., Khataee, A. R., Rasolifard, M.H., and SeyedDeraji, M.S. (2007). "Removal of organic dyes from industrial wastewaters using UV/H<sub>2</sub>O<sub>2</sub>, UV/H<sub>2</sub>O<sub>2</sub>/Fe (II), UV/H<sub>2</sub>O<sub>2</sub>/Fe (III) processes." *J. Water and Wastewater*, 61, 34-42. (In Persian)
5. Movahedian Attar, H., and Rezaei, R. (2006), "Investigate the efficiency of photochemical advanced oxidation technology (AOP) in dye degradation process of poly Azo directly with UV/H<sub>2</sub>O<sub>2</sub>," *J. Water and Wastewater*, 59, 83-75. (In Persian)
6. Amina, A., and Badie, S. (2008). Removal of methylene blue by carbons derived from peach stones by H<sub>3</sub>PO<sub>4</sub> activation: Batch and column studies." *Dyes Pigm.*, 76, 282-289.
7. Kargozoglu, B., Tasdemir, M., and Demirbas, E. (2007). The adsorption of basic dye from aqueous solution onto sepiolite,fly ash and apricot!shell activated carbon." *J. Hazard. Mater.*, 147, 297-306.
8. Alizadeh, R., and Borghei, S.M. (2006). "The use of granular activated carbon to remove organic matter and biological carbon in the process of textile dye wastewater." *J. of Chemistry and Chemical Engineering*, 25(3), 21-28.
9. Aliabadi, M., Fazel, Sh., and Vahabzadeh, F. (2009). "Application of acid cracking and fenton processes in treating olive oil wastewater." *J. Water and Wastewater*, 57, 30-36. (In Persian)
10. Mousavi, S.A.R., Mahvi, A.H., Mesdaghinia, A.R., Naseri, S., and Henry, H.R. (2009). "Fenton advanced oxidation process efficiency detergent to reduce pollution in the water." *J. of Water and Wastewater*, 4, 16-23. (In Persian)
11. Ali Abadi, M., Myrarefyn, S. M., and MogadamRezaei, M. (2006). "Application, advanced oxidation process fenton in decreasing emissions of industrial wastewater." *J. of Advanced Research*, 2, 49-53.
12. Marco, A. E., and Splugus, G. S. (1997). "How and why combined chemical and biological processes for waste watertreatment." *Wat. Sci. Tech.*, 35 (4), 321-327.
13. Ostra, M., Ubide, C., and Zuriarrain, J. (2007). "Interference modeling, experimental design and preconcentration steps in validation of the fentons reagent for pesticides determination." *J. Analytica Chimical*, 584, 228-235.
14. Chan, K.H., and Chu, W. (2007). "Modeling the reaction kinetics of fenton's process on the removal of atrazine." *J. Chemosphere*, 51 (4), 305-311.
15. Beltran, F.J., Garcia-Araya, J.F., and Alvarez, P.M. (2000). "Continuous flow integrated chemical (ozone) – activated sludge system treating combined agroindustrial- domestic wastewater." *J. Environmental Progress*, 19, 28-35.
16. Malakootian, M., and Assadi, M. (2010) "Efficiency of Fenton oxidation in removal phenol of aqueous solutions." *J. Water and Wastewater*, 79, 46-52. (In Persian)
17. Blanco, J., Torrades, F., De la Varga, M., and García-Montaña, J. (2012). "Fenton and biological-fenton coupled processes for textile wastewater treatment and reuse." *Desalination*, 286, 394-399.
18. Panizza, M., and Cerisola, G. (2009). "Electro-fenton degradation of synthetic dyes." *Water Research*, 43(2), 339-344.
19. Perkowski, J., and Kos, L. (2002). "Treatment of textile dyeing wastewater by hydrogen peroxide and ferrous ions." *J. Fibres and Textiles In Eastern Europe*, 2002, 78-81.

20. Bahmani, P., Maleki, A. , Ghahremani, A., and Kohzadi, Sh. (2013). "Efficiency of fenton oxidation process in removal of remazol black-B from aqueous." *J. of Health*, 4(1), 57-67.
21. APHA, AWWA,WPCF. (2005). *Standard methods for the examination of water and wastewater*, 21<sup>th</sup> Ed., American Public Health Association/American Water Works Association, Water Pollution Control Federation, Washington DC, USA.
22. Ali Abadi, M., Fazel, Sh., and Vahabzadeh, F. (2006). "Practical application of acid cracking process. Fenton." *J. of Water and Wastewater*, 57, 30-36. (In Persian)
23. Kestioglu, K., Yonar, T., and Azbar, N. (2005). "Feasibility of physico-chemical treatment and advanced oxidation processes(AOPs) as a means of pretreatment of olive mill effluent." *J. Process Biochemistry*, 40(7), 2409-2416.
24. Deng, Y., and Englehardt, J. D. (2006). "Treatment of landfill leachate by the fenton processes." *Water Res.*, 40 (20) 3683-3694.
25. Mei-Fang Hou, Lin Liao, Wei-De Zhang, Xiao-Yan Tang, Hong-Fu Wan, and Guang-Cai Yin (2011). "Degradation of rhodamine B by Fe(0)-based Fenton process with H<sub>2</sub>O<sub>2</sub>." *Chemosphere*, 83, 1279-1283.
26. Xiaofei Xue, Khalil Hanna, and Nansheng Deng. (2009). "Fenton-like oxidation of Rhodamine B in the presence of two types of iron (II, III) oxide." *J. of Hazardous Materials*, 166, 407-414.
27. Wu, J.J., Muruganandham, M., Yang, J.S., and Lin, S.S. (2006). "Oxidation of DMSO on goethite catalyst in the presence of H<sub>2</sub>O<sub>2</sub> at neutral pH." *Catal. Commun*, 7, 901-906.
28. Pei Pei Gan, and Sam Fong Yau Li. (2013). "Efficient removal of Rhodamine B using a rice hull-based silica supported iron catalyst by fenton-like process." *Chemical Engineering Journal*, 229, 351-363.